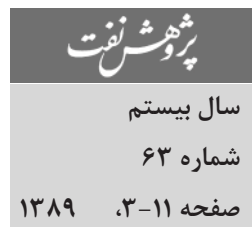


شبیه‌سازی مکانیزم آزمایش خوردگی، تعیین و تشخیص میزان خوردگی لوله‌های گاز از روی عایق با به کارگیری آزمون غیر مخرب جریان گردابی گذرا



میرسعید صفی‌زاده و مسعود حسنیان*

دانشگاه علم و صنعت ایران، دانشکده مکانیک

Hasanian82@gmail.com

واژه‌های کلیدی: خوردگی لوله، آزمون غیر مخرب جریان گردابی گذرا، تحلیل سیگنالی، نرم‌افزار ماسکول

مقدمه

آزمون غیر مخرب^۱، به کارگیری علم و تکنولوژی است که بدون بر هم زدن شرایط موجود اجزای سازه‌ای، امکان آزمایش و بررسی آنها را فراهم می‌کند.

معایبی که به شکست منجر می‌شوند، ممکن است قبل از ساخت قطعات و اجزا در مواد خام وجود داشته باشند. هم چنین در طول فرایندهای تولید مثل شکل دهی، خمش، ایجاد سوراخ، ماشین کاری و عملیات حرارتی ممکن است این معایب در قطعه ایجاد شوند. یکی از اهداف آزمون‌های غیر مخرب، شناسایی تقاضی در محل اولیه تولید، کار و سرویس دهی است. آزمون‌های غیر مخربی که در مراحل مختلف تولید انجام می‌شود معمولاً نگرانی

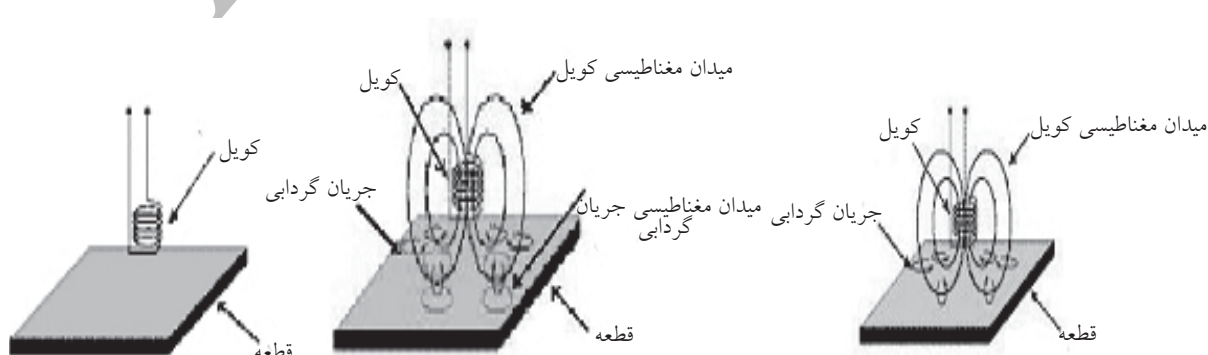
چکیده

صنایع نفت و گاز به دلیل پدیده خوردگی در سیستم‌های مکانیکی خود، متحمل هزینه‌های زیادی می‌شوند. یافتن روش‌هایی برای تعیین زمان خوردگی، می‌تواند در سه بعد اقتصادی، ایمنی و کاهش ضایعات تأثیرگذار باشد. در این تحقیق روش آزمون جریان گردابی گذرا به عنوان یک روش آزمایش غیر مخرب خوردگی لوله‌های گاز غیر مدفون پیشنهاد شده و قابلیت‌های این روش در تعیین و تشخیص خوردگی در لوله‌های گاز، بدون نیاز به جدا کردن عایق از روی لوله نشان داده شده است. لذا با توجه به اصول اولیه آزمون جریان گردابی گذرا، آزمایش جریان گردابی گذرا بر Maxwell روی لوله به همراه مکانیزم تست، توسط نرم‌افزار شبه‌سازی شد. نتایج آزمایش تعیین خوردگی بر روی لوله گاز عایق‌دار حاکی از قابلیت آزمون جریان گردابی گذرا در تشخیص خوردگی لوله‌های گاز می‌باشد. در صورت به کاربردن پروب‌هایی با توانایی دریافت ولتاژ بیشتر، میزان خطأ تا حدود ۳ الی ۴ درصد کاهش می‌یابد.

1. Non-Destructive Testing

استفاده در سیستم PEC نسبت به ET بالاتر است. همچنین میزان نفوذ در PEC نسبت به ET حدود ده برابر می‌باشد و به فرکانس‌های پایین‌تری نیاز است که حداکثر آن باید 100 Hz باشد [۳]. اساس این روش براساس ایستایی جریان‌های گردابی (ادی) در اجسام هادی که توسط یک کویل به وجود می‌آید استوار است. بعد از قطعه به وجود می‌آید. تغییرات بزرگ الکترو مغناطیسی در قطعه به وجود می‌آید. این تغییرات، میدان جریان ادی را در میدان با رسانایی غیر صفر تولید می‌کند. براساس قانون لنز، جهت جریان‌های ادی مخالف جهت تغییرات میدان است. میدان جریان‌های ادی باید شبیه میدانی باشد که توسط جریان اولیه ایجاد شده است. میدان ایجاد شده توسط جریان، مشابه میدان تولید شده با کویل خواهد بود. به دلیل عدم وجود منبع تغذیه در قطعه، جریان افت خواهد کرد. میدان الکترو مغناطیسی تولیدی به زمان وابسته است. به دلیل تغییرات میدان حاصل از جریان ادی با زمان، جریان گردابی دیگر در قطعه به وجود خواهد آمد. اثر این پدیده منجر به انتشار جریان ادی به سوی پایین قطعه آزمایش می‌شود. نرخ تغییرات جریان گردابی شامل اطلاعات ضخامت قطعه است. متأسفانه نرخ زوال جریان ادی نیز وابسته به متوسط این تغییرات و پارامترهای کویل می‌باشد.

شکل ۱، نحوه ایجاد جریان و میدان مغناطیسی القائی یک سیم پیچ در قطعه آزمایشی فرو مغناطیس را نشان می‌دهد [۴]. عملکرد سیستم PEC مطابق با شکل ۲ به مراحلی که براساس ولتاژ کویل‌های گیرنده تقسیم بندی شده است، مشخص می‌شود.



شکل ۱- نحوه ایجاد جریان و میدان مغناطیسی القائی یک سیم پیچ در قطعه آزمایشی فرو مغناطیس [۴]

1. Pulsed Eddy Current

بعدی قطعات و مواد به خصوص در موارد حساس مانند هوایپیما یا نیروگاه‌ها را کاهش می‌دهد [۱]. یکی از روش‌های مختلف آزمون غیر مخرب که از اصول الکترو مغناطیس پیروی می‌کند، آزمایش جریان‌های گردابی (ادی) است که استفاده از آن هر روزه فراگیرتر می‌شود. استفاده از روش آزمون جریان گردابی گذرا^۱ در آزمایش مواد، به سال ۱۹۷۱ باز می‌گردد و در زمینه انرژی اتمی نیز استفاده شده است. استفاده از این روش با رشد تکنولوژی نیز افزایش چشم‌گیری داشته و لی هنوز به صورت تجاری در نیامده است. از مزایای مهم این روش نفوذ بیشتر، توانایی تشخیص ناپیوستگی در قطعات هوایپیما و در هنگام پرواز می‌باشد. مزیت اصلی این روش در اندازه گیری در لوله‌ها و ورق‌های نازک مثل عملیات پوشش دهنی، شناسایی ترک‌های ریز داخل قطعه و خصوصاً خوردگی است [۲]. از جمله تفاوت‌های آزمون جریان گردابی گذرا (PEC) با آزمون جریان گردابی (ET) این است که در روش ET، قطعه توسط یک میدان مغناطیسی تک فرکانس تحریک می‌شود ولی در PEC قطعه توسط یک میدان مغناطیسی گذرا تحریک می‌شود. مزیت PEC، محصولی به صورت یک پالس زودگذر با یک طیف حجمی فرکانس از جریان DC با میزان 100 کیلوهرتز می‌باشد. موج مورد استفاده در ET، موج پیوسته سینوسی است. به بیان دیگر عرض باند مورد استفاده در روش ET کوچک است. در روش PEC فرکانس‌ها در محدوده بیشتری قرار دارند. این عرض با طول پاس نسبت عکس دارد که امکان کار با سیستم چند فرکانس را به وجود می‌آورد و به بیان دیگر ولتاژ مورد

می‌آورد. مانند هر روش دیگر، آزمون PEC نیز معایبی دارد که با توجه به کاربرد اصول مغناطیسی تنها قادر به بازرسی مواد رسانا است و پرورب باید به سطح دسترسی داشته باشد و همچنین آموزش و مهارت در این روش نسبت به دیگر روش‌ها بیشتر احساس می‌شود [۴]. تغییرات فاصله بین پرورب و نمونه مورد آزمایش که باعث تغییر ظرفیت القاء مغناطیسی می‌شود را Lift-off می‌نامند [۶].

عوامل تأثیرگذار در PEC عبارتند از:

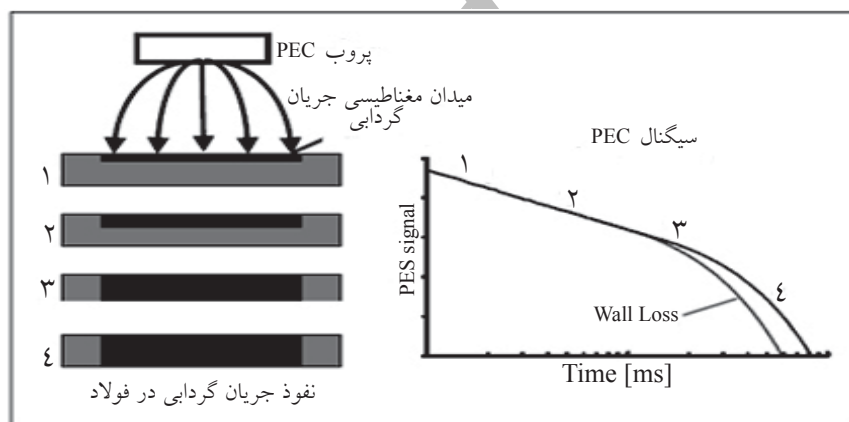
۱- پیک دامنه نمودار دریافتی

۲- زمان رسیدن به پیک دامنه

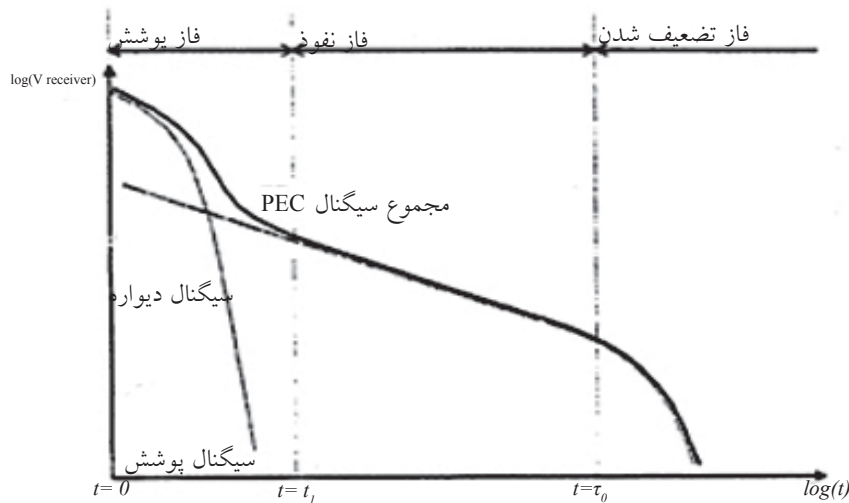
۳- زمان عبور از مقدار صفر نمودار

بزرگی (حجم مقدار) پیک دامنه متناسب با میزان کاهش فلز است و در حقیقت پیک دامنه به موقعیت و اندازه عیوب وابسته است [۷].

در سیگنال PEC، انطباق^۱ از دو منبع روکش عایق و دیواره لوله، میدان‌های مغناطیسی تولید شده مشاهده می‌شود. در این دو قطعه میدان مغناطیسی کل می‌تواند به صورت خطی جمع شود. دامنه سیگنال روکش نسبت به سیگنال دیواره لوله بلندتر است زیرا به پرورب نزدیکتر است. زوال سیگنال روکش نسبت به دیواره سریعتر است چون ضخامت روکش نسبت به ضخامت لوله بسیار کمتر است (شکل ۳). روش نوین PEC، نسبت به دیگر روش‌های تست غیر مخبر مزایایی دارد که می‌توان به نفوذ بیشتر در تشخیص ناپیوستگی‌ها، بررسی لوله‌ها و ورق‌های نازک اشاره کرد. همچنین بهدلیل این‌که در روش PEC، فرکانس‌ها در محدوده بیشتری قرار دارند، شناسایی دقیق عیوب و ثبت کلیه اطلاعات پردازش عیوب نسبت به اندازه و مکان، قابلیت ارزیابی و مقایسه با آزمایش انجام شده قبلی را فراهم



شکل ۲- نمودار نتایج سیستم PEC روی نمونه آزمایش [۵]



شکل ۳- فازهای چهارگانه تست PEC [۵]

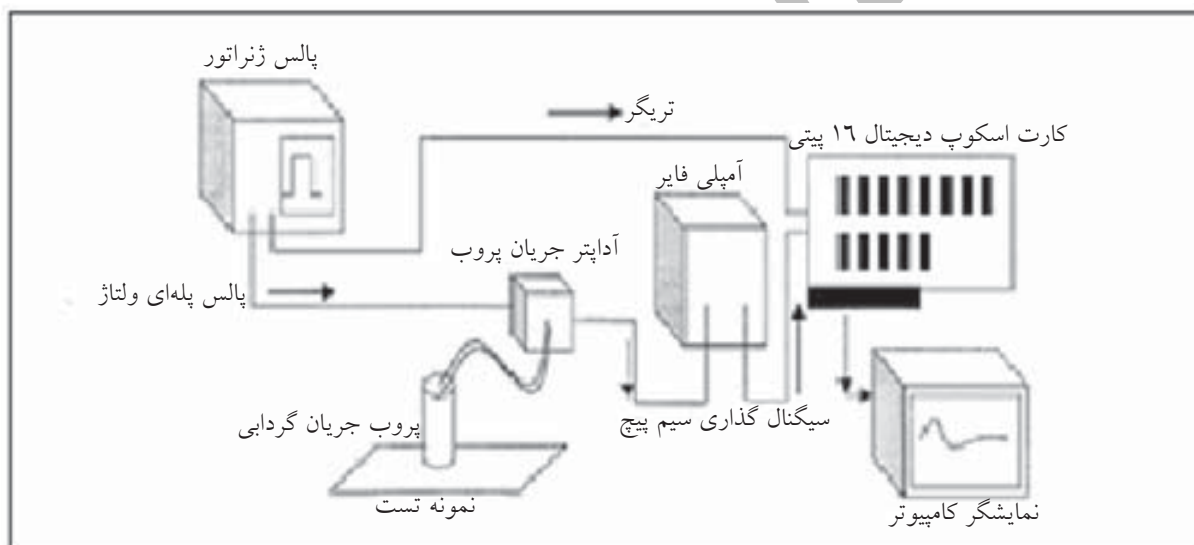
1. Superposition

آزمون PEC و شکل ۵، نمای اصلی سیستم آزمون آزمون PEC را نشان می‌دهد.

به منظور آماده کردن نمونه مورد آزمایش، ابتدا بر روی لوله گاز ۶ اینچی و ضخامت ۵/۲ میلیمتر به کمک دستگاه فرز، خوردگی‌هایی با ضخامت ۱/۴، ۱/۹۸، ۲/۵۸، ۳/۱۶، ۳/۷۴، ۴/۲۶، ۴/۹۸ میلیمتر با دقیق بالایی ایجاد شد. برای شروع آزمون PEC، باید به این نکته توجه کرد که فرکانس تولیدی توسط فانکشن ژنراتور به میزانی باشد که ضخامت‌های شبیه‌سازی شده بر روی لوله گاز را پوشش دهد (شکل ۶).

سیستم آزمایش و نحوه عملکرد

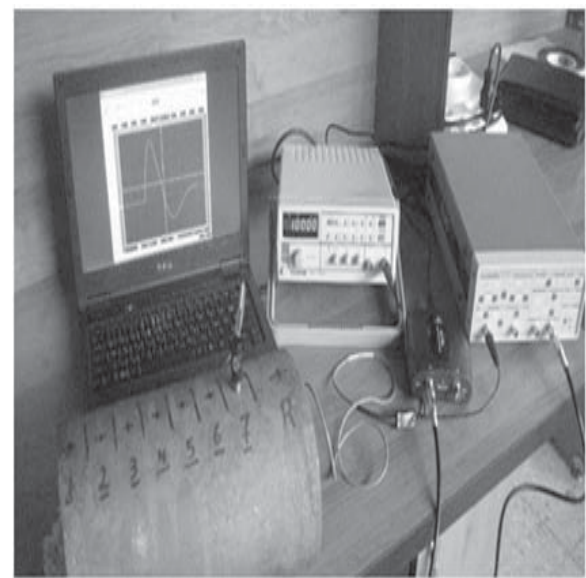
در سیستم آزمون جریان گردابی گذرا ابتدا از فانکشن ژنراتور برای تولید پالسی از سیگنال استفاده می‌شود، سیگنال‌های تحریک برای القاء مغناطیسی توسط پروب PEC وارد قطعه مورد آزمایش شده و پروب سیگنال برگشتی را برای تقویت سیگنالی وارد آمپلی فایر می‌کند و در نهایت سیگنال تقویت شده به یکی از کانال‌های کارت اسکوپ داده می‌شود و با اتصال کارت اسکوپ به کامپیوتر می‌توان سیگنال تولیدی را ذخیره و در مراحل بعدی فرایند تحلیل سیگنالی را انجام داد. شکل ۴، شماتیک سیستم



شکل ۴- شماتیک سیستم آزمون جریان گردابی گذرا



شکل ۶- شبیه‌سازی خوردگی‌هایی با ضخامت‌های متفاوت بر روی لوله گاز



شکل ۵- سیستم و تجهیزات آزمون جریان گردابی گذرا

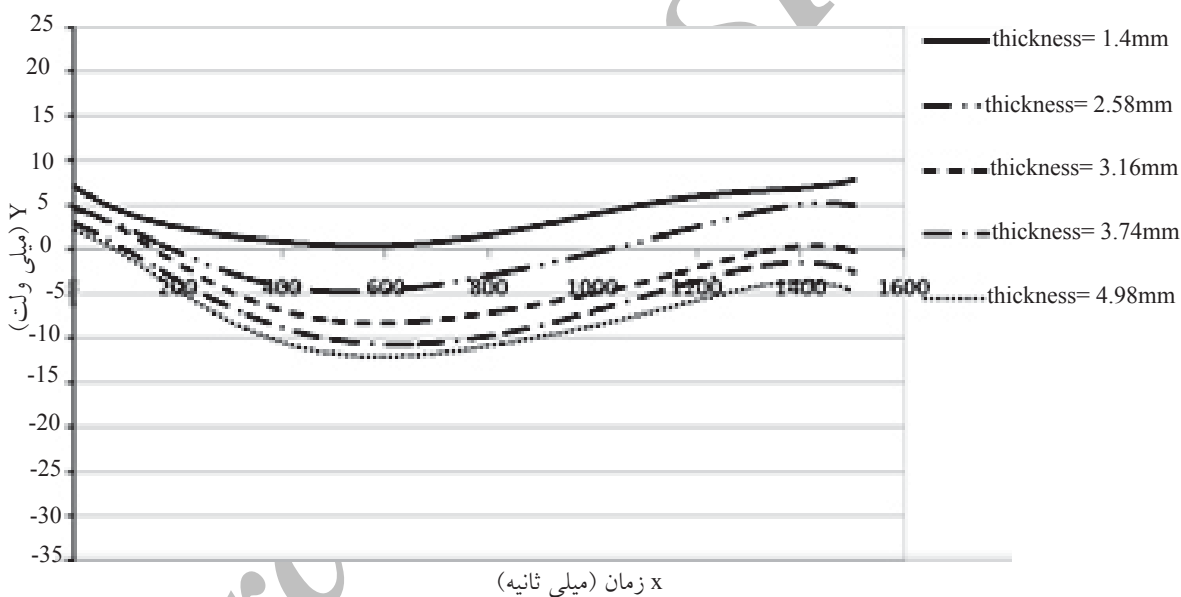
سیگنال ضخامت‌های متفاوت را از هم تمیز داد. برای کالیبره کردن سیستم، ضخامت‌های مختلف لوله با کمترین دامنه سیگنال‌های اختلافی با هم اندازه کردن منحنی‌ها، مرتبط می‌شوند (شکل ۸).

سپس برای راستی سنجی سیستم، از دو ضخامت ۱/۹۸ و ۰/۲۶ لوله استفاده شد و همان‌طورکه در شکل ۹ نشان داده شده، سیگنال‌های PEC مربوط به این دو ضخامت را از سیگنال مرجع کسر تا کمترین دامنه سیگنال‌های اختلافی مشخص شود. نهایتاً با استفاده از دامنه‌های خوانده شده و میان‌یابی می‌توان میزان ضخامت‌ها را با دقت بالایی تعیین کرد (جدول ۱).

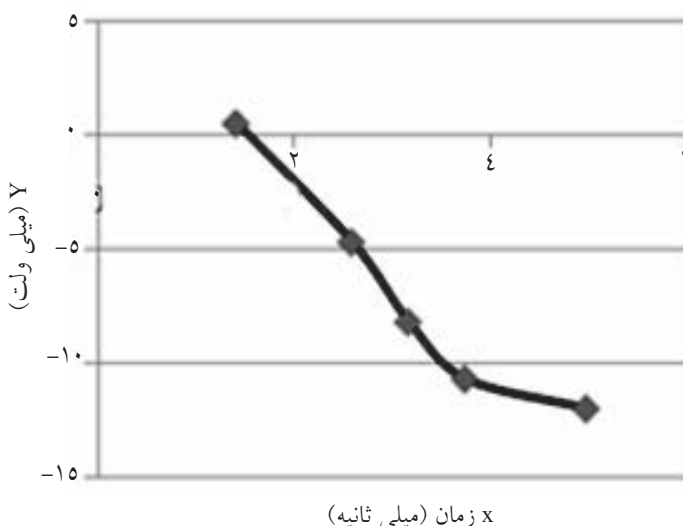
بحث و تحلیل نتایج

سیگنال‌های مربوط به هر کدام از ضخامت خورده‌گاه را به صورت جداگانه از سیگنال مرجع (سیگنال مربوط به ضخامت اولیه لوله گاز) کسر کرده و نمودار سیگنال اختلافی رسم می‌شود (شکل ۷).

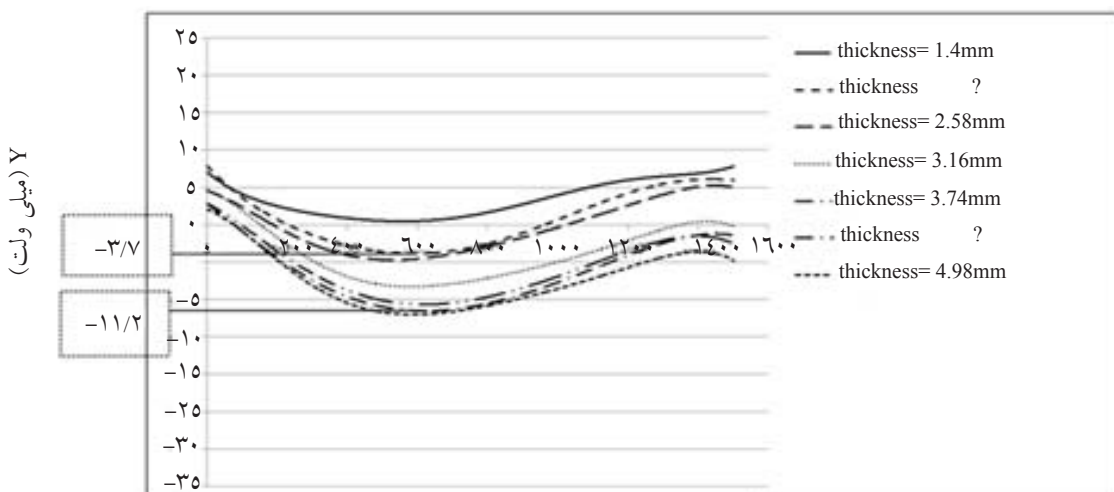
به منظور کالیبره کردن سیستم آزمایشی از پنج ضخامت مختلف روی لوله استفاده شد. از دو ضخامت ۱/۹۸ و ۰/۲۶ میلیمتر به‌دلیل استفاده در راستی سنجی و آزمایش سیستم تست در این مرحله استفاده نشد. همان‌طور که در شکل ۷ مشاهده می‌شود با تغییر ضخامت‌های لوله، کمترین دامنه سیگنال اختلافی تغییر می‌کند و به سهولت می‌توان



شکل ۷- سیگنال‌های اختلافی از سیگنال در نقطه مرجع



شکل ۸- نمودار سیگنال‌های اختلافی در نقاط کالیبراسیون بر حسب کمترین دامنه



شکل ۹- به دست آوردن کمترین دامنه سیگنال اختلافی دو ضخامت معجهول

شوند، کلیه سیگنال‌های اختلافی حاصله از یک نقطه یا محدوده‌ای از نقاط می‌گذرند که این نقطه را Lift-off Intersection می‌گویند (شکل ۱۱).

در صورتی که به منظور تحلیل سیگنال‌های اختلافی از دامنه سیگنال در این نقطه (LOI) استفاده شود، می‌توان مطمئن بود که اضافه کردن لایه‌های عایق تاثیری در دامنه سیگنال اختلافی نخواهد داشت و دامنه به دست آمده برای عایق‌ها با ضخامت‌های متفاوت را می‌توان با نمودار مرجع مقایسه کرد. در زیر نمودار مینیمم دامنه سیگنال‌های اختلافی در حالت لوله بدون عایق و با اضافه نمودن عایق نمایش داده شده است. نمودار مینیمم دامنه سیگنال اختلافی لوله بدون عایق را می‌توان به عنوان نمودار کالیبراسیون جهت تخمین ضخامت در دیگر نقاط مربوط به حالت لوله با عایق در نظر گرفت (شکل ۱۲ و ۱۳). دقت اندازه‌گیری ضخامت سنجی دستگاه PEC را می‌توان در جدول ۲ مشاهده کرد.

جدول ۱- دقت اندازه‌گیری ضخامت سنجی دستگاه PEC و تشخیص خوردگی

ضخامت واقعی (میلیمتر)	۴/۲۶	۱/۹۸
ضخامت تخمین زده شده توسط آزمون جریان گردابی گذرا	۴/۱۱۳۱	۱/۹۳۰۲
درصد خطای دستگاه آزمون جریان گردابی گذرا	۳/۴۴۸۳	۴/۹۸

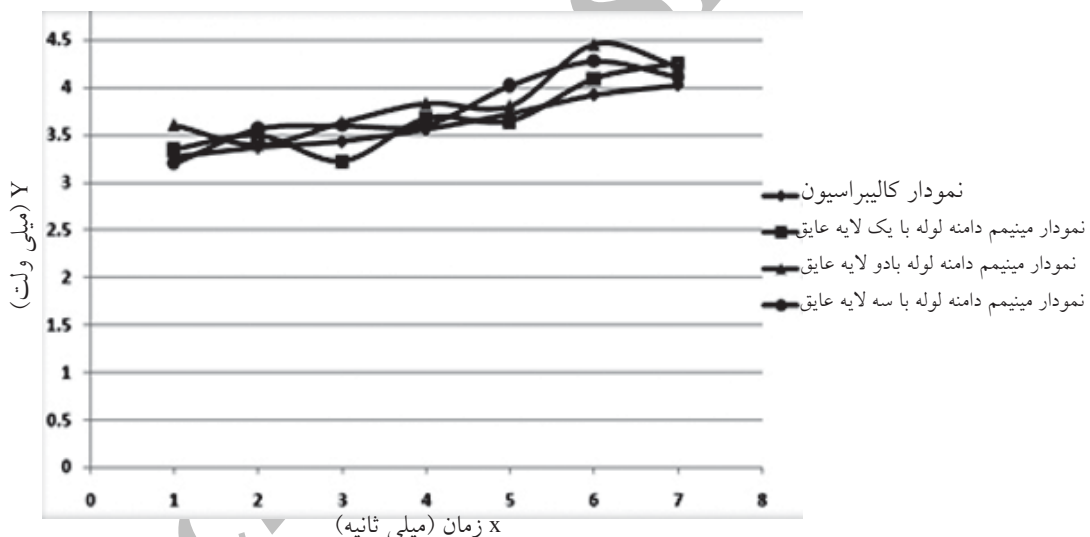
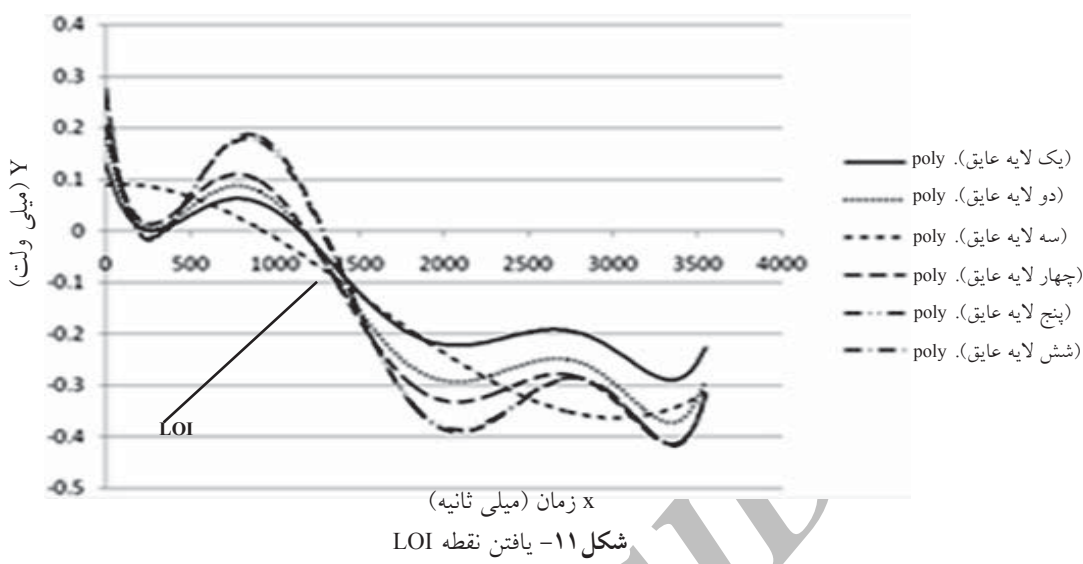
تحلیل نتایج با اعمال لایه‌های عایق

در این مرحله از آزمایش، لوله گاز از روی عایق مورد بررسی قرار گرفت. عایق مورد استفاده از عایق‌های نوع سرد با ضخامت ۱ میلیمتر بود که برای محافظت لوله‌های گاز غیر مدفعون کاربرد دارد. طی سه مرحله، سه لایه عایق اعمال و در هر مرحله نتایج مورد بررسی قرار گرفت. شکل ۱۰، اعمال سه لایه عایق را نشان می‌دهد.

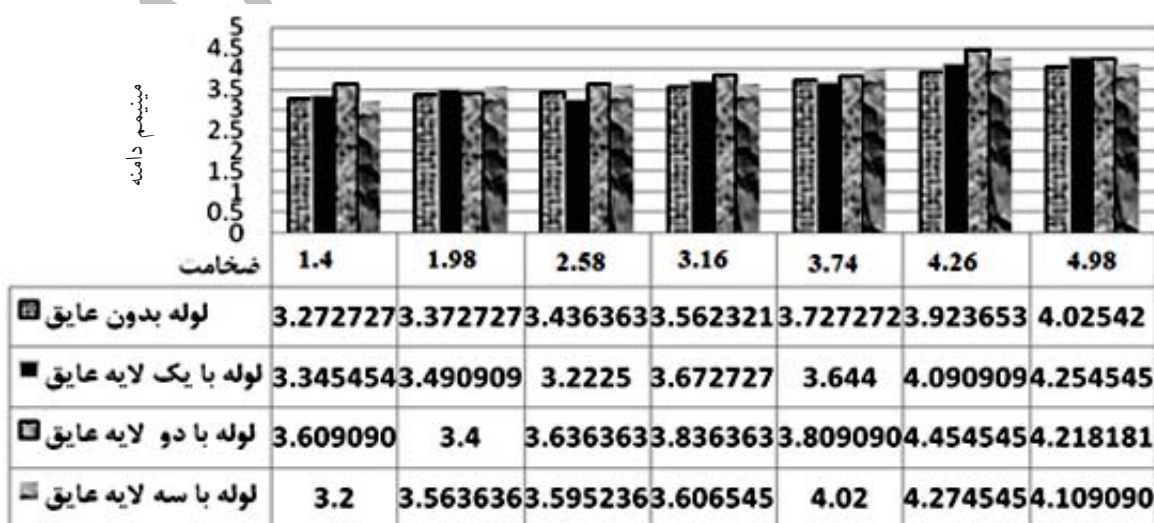
پس از انجام آزمایش‌های متعدد و بررسی نتایج، مشخص شد که به هر میزان تعداد لایه‌های عایق اضافه



شکل ۱۰- تست خوردگی لوله گاز از روی سه لایه عایق



شکل ۱۲- نمودار کمترین دامنه سیگنال‌های اختلافی در حالت لوله بدون عایق و با عایق



شکل ۱۳- بلوک دیاگرام مینیمم دامنه سیگنال‌های اختلافی در حالت لوله بدون عایق و با عایق

گذرا توسط نرم‌افزار Maxwell شبیه‌سازی شد. در سیستم آزمون جریان گردابی، پارامترهایی نظری و لتاژ، فرکانس و فاصله هوایی میان پرrob و نمونه، دارای اهمیت است که به کمک این نرم‌افزار عوامل فوق بهینه و به وضوح مشخص شدند. با توجه به بررسی نتایج به دست آمده از شبیه‌سازی با نرم‌افزار Maxwell، کلیه عوامل مورد نیاز آزمایش نمونه، استخراج شد.

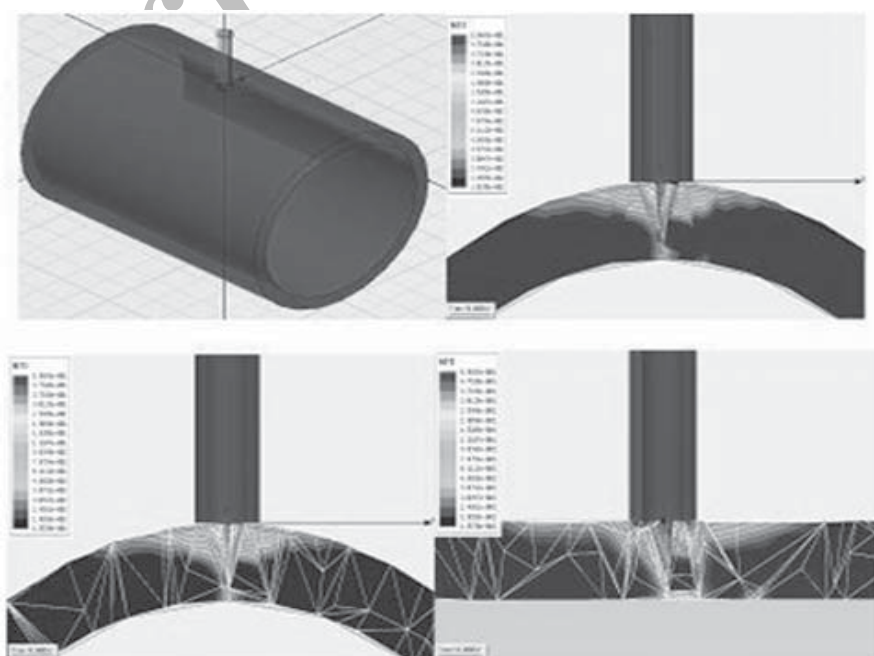
فرکانس ۵۰۰ هرتز، با ولتاژ ۴ ولت در پنج گام زمانی با یک شکل موج مربعی از جمله پارامترهای بهینه استخراج شده توسط شبیه‌سازی نرم‌افزار بود که با اعمال آن، میدان مغناطیسی القایی مورد نیاز برای آزمایش حاصل شد. در تصاویر شکل ۱۴، نتایج شبیه‌سازی و تحلیل نرم‌افزار Maxwell مشاهده می‌شود.

شبیه‌سازی مکانیزم آزمون جریان گردابی توسط نرم‌افزار Maxwell

با توجه به ضخامت بالای لوله گاز مورد آزمایش، اطمینان از اینکه آیا پالس ولتاژ فرستاده شده و آیا میدان مغناطیسی به وجود آمده و نیز توانایی گذرا از کل ضخامت لوله گاز را دارد یا خیر کار مشکلی است، زیرا سیستم شناسایی خورده‌گی در آزمون جریان گردابی گذرا بر این مبنای استوار است که میدان مغناطیسی ایجاد شده کل ضخامت نمونه مورد آزمایش را می‌پیماید و تحلیل سیگنالی برای تشخیص خورده‌گی بر روی سیگنال، پاسخی است که کویل ثانویه پرrob دریافت می‌کند. بهمین منظور در ابتدا کلیه شرایط از جمله جنس و ابعاد نمونه، مشخصات و ویژگی‌های پرrob و دیگر ملزومات مکانیزم آزمون جریان گردابی

جدول ۲- دقت اندازه‌گیری ضخامت سنگی دستگاه PEC و تشخیص خورده‌گی از روی ضخامت‌های مختلف عایق

ضرخامت واقعی	ضرخامت تخمین زده توسط آزمون جریان گردابی گذرا	درصد خطأ
۱/۹۸ میلیمتر	۱/۶۸۳	۱۵
	۱/۷۸۲	۱۰
	۱/۷۴۲۴	۱۲
۳/۱۶ میلیمتر	۲/۸۷۵	۹
	۲/۷۶۵	۱۲/۵
	۲/۸۲۸	۱۰/۵



شکل ۱۴- مراحل شبیه‌سازی و تحلیل اثر میدان مغناطیسی به کمک نرم‌افزار Maxwell

به کار رود. به کاربردن پروب مناسب برای تعیین خوردگی در ضخامت‌های گوناگون لوله گاز از جمله موارد مهمی است که باید به آن توجه داشت، نرم افزار Maxwell با قابلیت‌های فوق العاده‌ای که در طراحی پروب دارد، روش مناسبی است که همواره قبل از انجام آزمایش و طراحی پروب باید مدنظر قرار گیرد.

تشکر و قدردانی

از حمایت مالی شرکت ملی گاز ایران در انجام این پژوهه تشکر می‌شود.

نتیجه‌گیری

روش آزمون جریان گردابی گذرا، یک روش جدید در آزمایش‌های غیر مخرب است که هنوز در سطح آزمایشگاهی است و تاکنون دستگاهی برای انجام میدانی این نوع آزمایش به بازار نیامده است. این روش در شناسایی و تعیین خوردگی در صنعت هواپیمایی نتایج بسیار خوبی داده است. از آنجا که این آزمایش بر روی لوله‌های گاز بدون هیچ‌گونه توقف در انتقال گاز انجام می‌شود و نیازی به برداشتن عایق‌های روی لوله نیست، می‌تواند به عنوان یک روش مناسب در تشخیص خوردگی

منابع

- [1] دادخواه س., دادخواه ا., تکنولوژی بازرگانی جوش، نشر آزاده، ۱۳۸۵
- [2] McMaster R.C., "Nondestructive testing handbook", 2nd ed., Vol Testing ,1986.
- [3] Tian G.Y. & Sophian A, "Defect classification using a new feature for pulsed eddy current sensors", NDT & E International, Vol. 38(1), pp. 77-82, January 2005.
- [4] Safizadeh M.S., Lepine B.A., ForsythVz D.S & Fahr A., "Time-frequency analysis of pulsed eddy current signals", Journal of Nondestructive Evaluation, Vol. 20, No. 2, pp. 73-86, 2001.
- [5] Riccardo Scottini Herman J., "Inspection of coated subsea piping and risers quakkelsteijn applus RTD", American Society for Nondestructive , pp. 4-27, 2007.
- [6] Tian GY. & Sophian A., "Reduction of lift-off effects for pulsed eddy current NDT", NDT & E International, Vol. 38(4), pp. 319-324, 2005.
- [7] Giguere S., Lepine B. A. & Dubois J.M.S., "Pulsed eddy current technology: characterizing material loss with gap and lift-off variations", Res Nondestr Eval, Vol. 43, pp. 119–129, 2001.